

## **الاستقرارية الكلية لنظام رياضي تربوي يدرس تأثير كل من الغياب وترك الدراسة على العملية التربوية والتعليمية**

سعد عبد الله عبد السادة

احمد علي محسن

المديرية العامة للتربية في بغداد / الرصافة الاولى

**الملخص:**

هناك العديد من العوامل التي تؤثر على سير العملية التربوية والتعليمية، وبعض هذه العوامل هو الغياب المتكرر وترك مقاعد الدراسة. الهدف الرئيسي من البحث هو دراسة ومعرفة مدى تأثير هذه العوامل على السلوك الديناميكي للنموذج المقترن. افترضنا ان المجتمع الطلابي يتكون من ثلاثة اقسام هي الاول الطلبة في فترة الدراسة والثاني الطلبة الغائبون مع وجود احتمال عودة الغائبون للدراسة مرة ثانية والقسم الاخير الطلبة الناجحون. تمت مناقشة وجود وحدانية وقيود الحل للنموذج المقترن. قمنا بدراسة السلوك الشامل له. واخيراً من اجل تأكيد نتائجنا وتحديد تأثير معلمات النموذج التربوي على السلوك الديناميكي له اجرينا محاكاة عددية له.

### **1. المقدمة:**

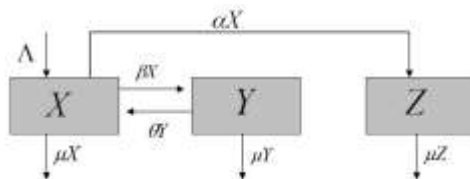
يعتبر النموذج الرياضي واحد من اهم الوسائل التي تساعده في دراسة وتحليل بعض المشاكل في الحياة وتقديم الحلول المناسبة لها. وكما هو معروف ان النموذج الرياضي ينقسم الى قسمين مهمين يسمى القسم الاول بالنماذج البيئية والتي تهتم بدراسة كافة التفاعلات بين الكائنات الحية والغير حية في البيئة على سبيل المثال ( التفاعلات التي تحدث بين البشر، بين الحيوانات، بين البشر والحيوان وغيرها ) والمعروفة ايضا بنماذج الفريسة والمفترس. حيث يعتبر نموذج لوتكا و فولتيра [ 2,1 ] اول نموذج رياضي لهذا النوع ويعتبر القاعدة الاساس للكثير من الدراسات بهذا المجال على سبيل المثال رائد كامل ناجي و أزهار عباس [ 3 ] في 2012, قدموا نظام بيئي يتكون من فريسة ومفترس ذات مراحل عمرية مركبة. دينا سلطان [ 4 ] في 2010 , قدمت نظام بيئي لفريسة ومفترس ذات مراحل عمرية مركبة والذي يتضمن امراض معدية طفيلية. واما القسم الثاني يسمى بالنماذج الوبائية وهذا القسم يهتم بدراسة وتحليل انتشار الامراض المعدية، حيث يعتبر نموذج كارميك و مكدريك [ 5 ] في 1927 اول نموذج رياضي يهتم بدراسة انتشار الامراض المعدية ومنطلقا للعديد من الدراسات والبحوث في هذا المجال على سبيل المثال كرييس زاليتا و فيلاسكو هيرناندز [ 6 ] في 2000 عرضوا نموذج رياضي وبائي من نوع *SIS* مع وجود تطعيم. ارينو و مكلوسكي و فان دين [ 7 ] اقترح نموذج وبائي

## الاستقرارية الكلية لنظام رياضي تربوي يدرس تأثير كل من الغياب وترك الدراسة على العملية التربوية والتعليمية.

من نوع  $SIR$  مع التفرعات. رائد كامل ناجي واحمد علي محسن [ 8 ] اقترحا ودرسوا نموذج وبائي من نوع  $SVIR$  والذي يتضمن وجود مهاجرين. في هذا البحث اقترحنا نموذج رياضي تربوي درسنا فيه تأثير بعض العوامل التي تؤثر على سير العملية التعليمية. درسنا الاستقرارية الكلية لكل نقاط التوازن المحتملة للنموذج وكذلك قمنا بدراسة عددية للنموذج المقترن.

### 2. النموذج الرياضي:

في هذا النموذج قسمنا مجتمع الطلاب الى ثلاثة اقسام القسم الاول الطلاب في فترة الدراسة والذي يرمز لهم بالرمز  $X(t)$ , القسم الثاني الطلاب الغائبون ويرمز لهم بالرمز  $Y(t)$  عند الزمن  $(t)$  والقسم الثالث الطلاب الناجحون ورمزهم  $Z(t)$  عند الزمن  $(t)$ . كما مبين في الشكل ادناه:



الشكل(1)

يمثل مخطط للنموذج المقترن والذي يمكن كتابته بنظام معادلات تفاضلية خطية كالتالي:

$$\begin{aligned} \frac{dX}{dt} &= \Lambda - (\beta + \alpha + \mu)X + \theta Y \\ \frac{dY}{dt} &= \beta X - (\theta + \mu)Y \\ \frac{dZ}{dt} &= \alpha X - \mu Z \end{aligned} \quad (1)$$

هنا  $\Lambda > 0$  تمثل نسبة الطلبة الوافدين الجدد,  $\beta > 0$  نسبة الطلبة الغائدون, ونسبة الطلبة الناجحون هي  $0 \leq \theta \leq 1$ , اما  $\alpha > 0$ , اما  $\mu > 0$  هي نسبة الطلبة العائدون من حالة الغياب, حيث انه اذا كانت  $\theta = 0$  ذلك يعني انه لا يوجد عائدون من الغياب الى مقاعد الدراسة مرة اخرى, اما اذا كانت  $\theta = 1$  فهذا يدل على ان العودة الى الدراسة عند الطلبة الغائدون يكون اعظم ما يمكن واخيرا  $\mu > 0$  هي نسبة الطلبة التاركين للدراسة من كل الاقسام ( الطلبة في فترة الدراسة, الطلبة الغائدون والطلبة الناجحون ). وبناءا على ذلك نفرض ان العدد الكلي لمجتمع الطلاب هو  $N = X(t) + Y(t) + Z(t)$ . ومن الواضح ان المتغيرات في النظام (1) تكون في مجال:

$$\mathcal{R}_+^3 = \{(X, Y, Z) \in \mathbb{R}_+^3, X \geq 0, Y \geq 0, Z \geq 0\}$$

أي ان النظام (1) له ثبات ايجابي. اضافة الى ذلك ان المعادلات في النظام (1) هي مستمرة ومشتقاتها مستمرة وتحقق دالة ليشيزين من هذا ينتج ان الحل موجود ووحيد في  $\mathcal{R}_+^3$ , كما ان

## الاستقرارية الكلية لنظام رياضي تربوي يدرس تأثير كل من الغياب وترك الدراسة على العملية التربوية والتعليمية.

جميع حلول النظام (1) لامتناك شروط ابتدائية سالبة وتكون مقيدة بانظام كما مبين في النظرية أدناه:

نظرية 1: كل الحلول لنظام (1) تكون في  $\mathbb{R}_+^3$  هي مقيدة بانظام.  
البرهان:

ليكن  $(X(0), Y(0), Z(0))$  هي أية حلول لنظام (1) مع شروط ابتدائية غير سالبة  $(X(t), Y(t), Z(t))$  حيث ان  $N(t) = X(t) + Y(t) + Z(t)$

$$\begin{aligned}\frac{dN}{dt} &= \frac{dX}{dt} + \frac{dY}{dt} + \frac{dZ}{dt} \\ &= \Lambda - (\beta + \alpha + \mu)X + \theta Y + \beta X - (\theta + \mu)Y + \alpha X - \mu Z\end{aligned}$$

وبتبسيط المعادلة اعلاه نحصل على:

$$\frac{dN}{dt} = \Lambda - \mu(X + Y + Z)$$

أي ان:

$$\frac{dN}{dt} + \mu N = \Lambda$$

والآن باستخدام نتائج كرونوال [ 9 ] نحل المعادلة التفاضلية اعلاه نحصل على:

$$N(t) \leq \frac{\Lambda}{\mu} \left(1 - e^{-\mu t}\right) + N(0)e^{-\mu t}$$

ويتضح ان  $N(t) \leq \frac{\Lambda}{\mu}$  عندما  $t \rightarrow \infty$  أي ان كل حلول لنظام (1) تبدأ في  $\mathbb{R}_+^3$  وتكون في

المنطقة  $\Omega = \left\{(X, Y, Z) \in \mathbb{R}_+^3 : N \leq \frac{\Lambda}{\mu}\right\}$ ، وهنا نهاية البرهان

### 3. إيجاد نقاط التوازن لنظام (1):

في هذا الجزء نناقش وجود كل نقاط التوازن المحتملة لنظام (1). هنا نلاحظ ان النظام (1) يمتلك على الاكثر اربعة نقاط توازن محتملة  $E_i = (X_i, Y_i, Z_i), i = 0, 1, 2, 3$  تم وضع شروط الوجود لكل نقاط التوازن كما مبين أدناه:

1. اذا كان  $Y = Z = 0$  ينتج ان نظام (1) يمتلك نقطة توازن تسمى نقطة التوازن الداخلية من كل الغائبون والناجحون ويرمز لها بالرمز  $E_0 = (X_0, 0, 0)$  حيث ان:

$$X_0 = \frac{\Lambda}{\mu} \quad (2)$$

2. اذا كان  $Y = 0$  فان نظام (1) يمتلك نقطة توازن تسمى نقطة التوازن الداخلية من الغائبون ويرمز لها بالرمز  $E_1 = (X_1, 0, Z_1)$  حيث ان:

$$\left. \begin{array}{l} X_1 = \frac{\Lambda}{\alpha + \mu} \\ Z_1 = \frac{\alpha\Lambda}{\mu(\alpha + \mu)} \end{array} \right\} \quad (3)$$

3. اذا كان  $Z = 0$  فان النظام (1) يمتلك نقطة توازن تسمى نقطة التوازن الحالية من الناجحون ويرمز لها بالرمز  $E_2 = (X_2, Y_2, 0)$  حيث ان:

$$\left. \begin{array}{l} X_2 = \frac{\mu\Lambda(\mu + \beta + \theta) + \Lambda\beta\theta}{\mu(\beta + \mu)(\mu + \beta + \theta)} \\ Y_2 = \frac{\beta\Lambda}{\mu(\mu + \beta + \theta)} \end{array} \right\} \quad (4)$$

4. اذا كان  $Z \neq 0, Y \neq 0$  فان النظام (1) يمتلك نقطة توازن تسمى نقطة التوازن في حالة وجود كل من الغائبون والناجحون ويرمز لها بالرمز  $E_3 = (X_3, Y_3, Z_3)$  حيث ان  $Z_3, X_3$  و  $Y_3$  تمثل الحل الموجب للمعادلات ادناه:

$$\begin{aligned} \Lambda - (\beta + \alpha + \mu)X + \theta Y &= 0 \\ \beta X - (\theta + \mu)Y &= 0 \\ \alpha X - \mu Z &= 0 \end{aligned} \quad (5)$$

من معادلة (2) في النظام (5) نحصل على:

وبتعويض قيمة  $Y$  اعلاه في المعادلة الاولى للنظام (5) ينتج لنا ان:

$$\left. \begin{array}{l} X_3 = \frac{\Lambda(\mu + \theta)}{\theta(\alpha + \mu) + \mu(\beta + \alpha + \mu)} \\ Y_3 = \frac{\Lambda\beta(\mu + \theta)}{(\mu + \theta)[\theta(\alpha + \mu) + \mu(\beta + \alpha + \mu)]} \end{array} \right\} \quad (6a)$$

وبتعويض قيمة  $X_3$  ايضاً في المعادلة الثالثة للنظام (5) نحصل على:

$$Z_3 = \frac{\Lambda\alpha(\mu + \theta)}{\mu[\theta(\alpha + \mu) + \mu(\beta + \alpha + \mu)]} \quad (6b)$$

#### 4. تحليل الاستقرارية المحلية للنظام (1):

في هذا الجزء سندرس الاستقرارية المحلية للنظام (1) ولكل نقاط التوازن الخاصة بالنظام وذلك بالاعتماد على مصفوفة جاكوبيةً وكما مبين في النظرية ادناه.

نظرية 2: كل نقاط التوازن الخاصة بالنظام (1) وهي  $E_i, i = 0, 1, 2, 3$  تكون مستقرة استقراراً محلياً اذا تحقق الشرط التالي وكما مبين ادناه.

$$\beta\theta < (\mu + \theta)(\beta + \alpha + \mu) \quad (7)$$

البرهان:

بما ان النظام المقترن مكون من معادلات خطية فان مصفوفة الجاكوبية لـ  $E_i$  وعند كل نقاط التوازن الخاصة به هي نفس المصفوفة والتي يمكن كتابتها بالشكل التالي:

$$J_{E_i} = \begin{bmatrix} b_{11} & b_{12} & b_{13} \\ b_{21} & b_{22} & b_{23} \\ b_{31} & b_{32} & b_{33} \end{bmatrix}, i = 0, 1, 2, 3$$

حيث ان:

$$b_{11} = -(\beta + \alpha + \mu); b_{12} = \theta; b_{13} = 0$$

$$b_{21} = \beta; b_{22} = -(\theta + \mu); b_{23} = 0$$

$$b_{31} = \alpha; b_{32} = 0; b_{33} = -\mu$$

بسهولة نرى ان المعادلة المميزة لمصفوفة الجاكوبية عند جميع نقاط التوازن الخاصة بالنظام  $(1)$  تكتب بالشكل:

$$\lambda^3 + A_1\lambda^2 + A_2\lambda + A_3 = 0 \quad (8)$$

هنا:

$$A_1 = -[a_{11} + a_{22} + a_{33}]$$

$$= 3\mu + \beta + \alpha + \theta$$

$$A_2 = [a_{11}a_{22} - a_{12}a_{21} + a_{11}a_{33} + a_{22}a_{33}]$$

$$= (\theta + \mu)(\beta + \alpha + \mu) - \beta\theta + \mu(\beta + \alpha + \theta) + \mu(\theta + \mu)$$

$$A_3 = -[a_{11}a_{22}a_{33} + a_{33}a_{12}a_{21}]$$

$$= \mu^3 + \mu^2(\beta + \alpha + \theta) + \alpha\mu\theta$$

ومن هنا نجد ان:

$$\Delta = A_1A_2 - A_3$$

$$= (a_{11} + a_{22} + 2a_{33})(a_{12}a_{21} - a_{11}a_{22}) - a_{11}a_{33}(a_{11} + a_{33})$$

$$- a_{22}a_{33}(a_{22} + a_{33})$$

$$= -[(\beta + \alpha + \mu) + (\mu + \theta) + 2\mu][\beta\theta - (\mu + \theta)(\beta + \alpha + \mu)] +$$

$$\mu(\beta + \alpha + \mu)[(\beta + \alpha + \mu) + \mu] + \mu(\mu + \theta)[(\mu + \theta) + \mu]$$

والآن بتطبيق قاعدة روث-هوارتز تكون جميع نقاط التوازن الخاصة بالنظام  $E_i, i = 0, 1, 2, 3$

(1) مستقرة استقراراً محلياً اذا كانت الشرط  $A_1A_2 - A_3 > 0$  و  $A_1 > 0; A_3 > 0$  متحققة.

وبسهولة نلاحظ ان  $A_1 > 0; A_3 > 0$  متحققة وبدون أي شرط بينما  $\Delta = A_1A_2 - A_3 > 0$  تكون متحققة اذا تحقق الشرط (7).

## 5. تحليل الاستقرارية الكلية للنظام (1)

في هذا الجزء سندرس الاستقرارية الكلية للنظام (1) ولكل نقاط التوازن الخاصة بالنظام وذلك بالاعتماد على دالة ليابانوف وكما مبين في النظريات أدناه.

نظريه 3: لتكن نقطة التوازن الخالية من الغائبون والناجحون ( $E_0$ ) مستقرة استقراراً كلياً اذا تحقق الشرط الآتي:

$$\beta + \alpha < \theta Y \quad (9)$$

## دراسات تربوية

الاستقرارية الكلية لنظام رياضي تربوي يدرس تأثير كل من الغياب وترك الدراسة على العملية التربوية والتعليمية.

البرهان:

لتكن  $V_1$  دالة موجبة حيث ان:

$$V_1 = \left( X - X_0 - X_0 \ln \frac{X}{X_0} \right) + Y + Z$$

من الواضح ان  $V_1 : R_+^3 \rightarrow R$  هي دالة مستمرة ومشتقتها مستمرة ايضاً بحيث ان:  $V_1 = (X_0, 0, 0) = 0$ ,  $V_1(X, Y, Z) > 0 \quad \forall (X, Y, Z) \neq (X_0, 0, 0)$  وبأخذ المشتقة للدالة نحصل على:

$$\begin{aligned} \frac{dV_1}{dt} &= \left( \frac{X - X_0}{X} \right) \frac{dX}{dt} + \frac{dY}{dt} + \frac{dZ}{dt} \\ &= \left( \frac{X - X_0}{X} \right) [\Lambda - (\beta + \alpha + \mu)X + \theta Y] + \beta X - (\theta + \mu)Y + \alpha X - \mu Z \end{aligned}$$

وبتبسيط هذه المعادلة ينتج:

$$\frac{dV_1}{dt} = \frac{-\mu}{X} (X - X_0)^2 - \mu(Y + Z) + X_0[\beta + \alpha - \theta Y]$$

وإذا كان الشرط (9) متحقق فان:

$$\frac{dV_1}{dt} \leq \frac{-\mu}{X} (X - X_0)^2 - \mu(Y + Z) + X_0[\beta + \alpha - \theta Y]$$

حيث ان  $\frac{dV_1}{dt} < 0$  و  $V_1$  تحقق دالة ليابانوف اذا تحقق الشرط (9) وهذا ينبع بان نقطة التوازن  $(E_0)$  تكون مستقرة استقراراً كلياً.

نظيرية 4: لتكن نقطة التوازن  $(E_1)$  مستقرة استقراراً كلياً اذا تحققت الشروط الآتية:

$$\left( \frac{\alpha}{Z} \right)^2 \leq 4 \left( \frac{\alpha + \mu}{X} \right) \left( \frac{\mu}{Z} \right) \quad (10a)$$

$$\beta X X_1 < (\mu X + \theta X_1)Y \quad (10b)$$

البرهان:

لتكن  $V_2$  دالة موجبة ومعرفة بالشكل الآتي:

$$V_2 = \left( X - X_1 - X_1 \ln \frac{X}{X_1} \right) + Y + \left( Z - Z_1 - Z_1 \ln \frac{Z}{Z_1} \right)$$

من الواضح ان  $V_2 : R_+^3 \rightarrow R$  هي دالة مستمرة ومشتقتها مستمرة ايضاً بحيث ان:  $V_2 = (X_1, 0, Z_1) = 0$ ,  $V_2(X, Y, Z) > 0 \quad \forall (X, Y, Z) \neq (X_1, 0, Z_1)$  وبأخذ المشتقة للدالة نحصل على:

$$\begin{aligned}\frac{dV_2}{dt} &= \left(\frac{X - X_1}{X}\right) \frac{dX}{dt} + \frac{dY}{dt} + \left(\frac{Z - Z_1}{Z}\right) \frac{dZ}{dt} \\ &= \left(\frac{X - X_1}{X}\right) [\Lambda - (\beta + \alpha + \mu)X + \theta Y] + \beta X - (\mu + \theta)Y + \\ &\quad \left(\frac{Z - Z_1}{Z}\right) [\alpha X - \mu Z]\end{aligned}$$

وبتبسيط هذه المعادلة ينتج:

$$\begin{aligned}\frac{dV_2}{dt} &= \frac{-(\alpha + \mu)}{X} (X - X_1)^2 + \frac{\alpha}{Z} (X - X_1)(Z - Z_1) - \frac{\mu}{Z} (Z - Z_1)^2 + \\ &\quad \beta X_1 - \frac{(\mu X + \theta X_1)Y}{X}\end{aligned}$$

وإذا كان الشرط (10a) متحقق فان:

$$\frac{dV_2}{dt} \leq - \left[ \sqrt{\frac{\alpha + \mu}{X}} (X - X_1) - \sqrt{\frac{\mu}{Z}} (Z - Z_1) \right]^2 + \beta X_1 - \frac{(\mu X + \theta X_1)Y}{X}$$

إي ان  $\frac{dV_2}{dt} < 0$  متحقق لكل شرط ابتدائي اذا تحقق الشرط (10a) و  $V_2$  هي دالة ليابانوف اذا تحقق الشرطين (10a-10b) ومن هذا ينتج بان نقطة التوازن الخالية من الغائبين ( $E_1$ ) تكون مستقره استقرارا كليا.

نظريه 5: لتكن نقطة التوازن الخالية من الناجحون ( $E_2$ ) مستقرة استقرارا كليا اذا تحققت الشروط الآتية:

$$\left(\frac{\theta}{X} + \frac{\beta}{Y}\right)^2 \leq 4 \left(\frac{\beta + \mu}{X}\right) \left(\frac{\theta + \mu}{Y}\right) \quad (11a)$$

$$\alpha X_2 < \mu Z \quad (11b)$$

البرهان:

لتكن  $V_3$  دالة موجبة ومعرفة بالشكل الآتي:

$$V_3 = \left(X - X_2 - X_2 \ln \frac{X}{X_2}\right) + \left(Y - Y_2 - Y_2 \ln \frac{Y}{Y_2}\right) + Z$$

نلاحظ ان  $V_3: R_+^3 \rightarrow R$  هي دالة مستمرة ومشتقها مستمرة ايضاً بحيث ان:

$V_3 = (X_2, Y_2, 0) = 0$ ,  $V_3(X, Y, Z) > 0 \quad \forall (X, Y, Z) \neq (X_2, Y_2, 0)$

المشتقة للدالة  $V_3$  نحصل على:

$$\begin{aligned}\frac{dV_3}{dt} &= \left(\frac{X - X_2}{X}\right) \frac{dX}{dt} + \left(\frac{Y - Y_2}{Y}\right) \frac{dY}{dt} + \frac{dZ}{dt} \\ &= \left(\frac{X - X_2}{X}\right) [\Lambda - (\beta + \alpha + \mu)X + \theta Y] + \left(\frac{Y - Y_2}{Y}\right) [\beta X - (\mu + \theta)Y] + \\ &\quad \alpha X - \mu Z\end{aligned}$$

## الاستقرارية الكلية لنظام رياضي تربوي يدرس تأثير كل من الغياب وترك الدراسة على العملية التربوية والتعليمية.

وبتبسيط هذه المعادلة ينتج:

$$\frac{dV_3}{dt} = \frac{-(\beta + \mu)}{X}(X - X_2)^2 + \left(\frac{\theta}{X} + \frac{\beta}{Y}\right)(X - X_2)(Y - Y_2) - \left(\frac{\theta + \mu}{Y}\right)(Y - Y_2)^2 + \alpha X_2 - \mu Z$$

وإذا كان الشرط (11a) متحقق فان:

$$\frac{dV_3}{dt} \leq - \left[ \sqrt{\frac{\beta + \mu}{X}}(X - X_2) - \sqrt{\frac{\theta + \mu}{Y}}(Y - Y_2) \right]^2 + \alpha X_2 - \mu Z$$

إذ ان  $\frac{dV_3}{dt} < 0$  متحقق لكل شرط ابتدائي اذا تحقق الشرط (11a) و  $V_3$  هي دالة ليابانوف اذا تحقق الشرطين (11a-11b) ومن هذا ينتج بان نقطة التوازن الخالية من الناجحون ( $E_2$ ) تكون مستقرة استقراراً كلياً.

نظريه 6: لتكن نقطة توازن وجود كل من الغائبين و الناجحون ( $E_3$ ) مستقرة استقراراً كلياً اذا تحققت الشروط الآتية:

$$(\theta + \beta)^2 \leq 2(\beta + \alpha + \mu)(\theta + \mu) \quad (12a)$$

$$\alpha^2 < 2\mu(\beta + \alpha + \mu) \quad (12b)$$

البرهان:

لتكن  $V_4$  دالة موجبة ومعرفة بالشكل الآتي:

$$V_4 = \frac{(X - X_3)^2}{2} + \frac{(Y - Y_3)^2}{2} + \frac{(Z - Z_3)^2}{2}$$

من الواضح ان  $V_4: R_+^3 \rightarrow R$  هي دالة مستمرة ومشتقتها مستمرة ايضاً بحيث ان:  $V_4 = (X_3, Y_3, Z_3) = 0$ ,  $V_4(X, Y, Z) > 0 \quad \forall (X, Y, Z) \neq (X_3, Y_3, Z_3)$  وان  $V_4$  نحسب المشتقه للدالة  $V_4$  نحصل على:

$$\begin{aligned} \frac{dV_4}{dt} &= (X - X_3) \frac{dX}{dt} + (Y - Y_3) \frac{dY}{dt} + (Z - Z_3) \frac{dZ}{dt} \\ &= (X - X_3)[\Lambda - (\beta + \alpha + \mu)X + \theta Y] + (Y - Y_3)[\beta X - (\mu + \theta)Y] + \\ &\quad (Z - Z_3)[\alpha X - \mu Z] \end{aligned}$$

وبتبسيط المعادلة اعلاه ينتج:

$$\begin{aligned} \frac{dV_4}{dt} &= \frac{-1}{2} q_{11}(X - X_3)^2 + q_{12}(X - X_3)(Y - Y_3) - q_{22}(Y - Y_3)^2 - \\ &\quad \frac{1}{2} q_{11}(X - X_3)^2 + q_{13}(X - X_3)(Z - Z_3) - q_{33}(Z - Z_3)^2 \end{aligned}$$

حيث ان:

$$q_{11} = (\beta + \alpha + \mu), \quad q_{12} = (\theta + \beta), \quad q_{22} = (\theta + \mu), \quad q_{13} = \alpha, \quad q_{33} = \mu$$

وإذا كانت الشروط (12a-12b) متحققة نحصل على:

$$\frac{dV_4}{dt} \leq - \left[ \sqrt{\frac{q_{11}}{2}}(X - X_3) - \sqrt{q_{22}}(Y - Y_3) \right]^2 - \left[ \sqrt{\frac{q_{11}}{2}}(X - X_3) - \sqrt{q_{33}}(Z - Z_3) \right]^2$$

وببساطة،  $V_4 < 0$  هي دالة ليابانوف اذا تحقق الشرطين (12a-12b) ومن هذا ينتج  
بان نقطة توازن وجود كل من الغائبون و الناجحون ( $E_3$ ) تكون مستقره استقراراً كلياً.

■

#### 6. تفرع هوبف للنظام (1):

في هذا الجزء، سندرس تفرع هوبف عند نقاط التوازن  $E_i = (X_i, Y_i, Z_i), i = 0, 1, 2, 3$  الخاصة بالنظام (1). من الواضح ان جميع نقاط التوازن الخاصة بالنظام (1) تكون مستقرة استقراراً محلياً اذا كان كل من  $A_i > 0, i = 1, 2, 3$  و  $\Delta = A_1 A_2 - A_3 > 0$  ايضاً وهذه تكون متحققة اذا تحقق الشرط (7) وفي هذه الحالة لا يوجد احتمال حدوث تفرع هوبف.

الآن، نفرض انه لو كان بالامكان ان  $\Delta = A_1 A_2 - A_3 = 0$  هذا ينتج وجود احتمال حدوث تفرع هوبف اذا وفقط اذا كانت مصفوفة الجاكوبية للنظام (1) عند واحدة من نقاط التوازن  $E_i = (X_i, Y_i, Z_i), i = 0, 1, 2, 3$  تمتلك زوج مركب من معامل التحول الخطى ( $\lambda_i = \rho_1 \pm i\rho_2$ ) مع معامل تحول خطى ثالث حقيقي او سالب. بالإضافة الى الشرط اعلاه هناك شرطين مهمين واجب تحققاًهما عند باراميتر خاص مثل  $l^*$ :

$$\rho_1(l^*) = 0 \quad (13a)$$

$$\left. \frac{d\rho_1}{dl} \right|_{l=l^*} \neq 0 \quad (13b)$$

والآن، من  $\Delta = A_1 A_2 - A_3 = 0$  نحصل على:

$$M a_{11}^2 + B a_{11} + C = 0 \quad (14a)$$

حيث ان:

$$M = -(a_{22} + a_{33}) > 0$$

$$B = a_{12} a_{21} - (a_{22} + a_{33})^2$$

$$C = a_{22} [a_{12} a_{21} - a_{33} (a_{22} + a_{33})]$$

بسهولة اذا كان  $C < 0$  وبنطبيق قاعدة كرونوال فان معادلة (14a) تمتلك زوج من الجذور الحقيقة:

$$a_{11} = \frac{-B}{2M} \pm \frac{1}{2M} \sqrt{B^2 - 4MC}$$

و بما ان  $a_{11} = -(\beta + \alpha + \mu) < 0$  و عليه نحصل ان:

$$a_{11} = \frac{-B}{2M} - \frac{1}{2M} \sqrt{B^2 - 4MC}$$

وبتعويض قيمة  $a_{11}$  نحصل على:

$$(\beta + \alpha + \mu) - \frac{B}{2M} - \frac{1}{2M} \sqrt{B^2 - 4MC} = 0 \quad (14b)$$

وهذا ينتج ان المعادلة (14b) تساوي  $f(\alpha^*) = 0$  عندما  $\alpha = \alpha^*$  ومن هذا نحصل ان  $A_1 A_2 = A_3$  عندما  $\alpha = \alpha^*$  عندها يمكن اعادة كتابة المعادلة المميزة لمصفوفة الجاكوبية الخاصة بالنظام (1) عند أي نقطة من نقاط التوازن بالصورة:

$$p_3(\lambda) = (\lambda + A_1)(\lambda^2 + A_2) = 0 \quad (15)$$

الآن في هذه الحالة (أي عندما  $\alpha = \alpha^*$ ) ينتج عامل التحول الخطى  $\lambda_1 = -A_1 < 0$  و  $\lambda_{2,3} = \pm i\sqrt{A_2}$  وبهذا فان الشرط الاول الازم لحدوث تفرع هو بف وهو الشرط (13a) متحقق عند  $\alpha = \alpha^*$  وهو  $\rho_1(\alpha^*) = \sqrt{A_2}$  بينما

الآن سندرس الشرط الثاني وهو (13b) بصورة عامة عامل التحول الخطى المركب لا ي قيمة  $\alpha$  يمكن كتابته:

$$\lambda_{2,3} = \rho_1(\alpha) \pm i\rho_2(\alpha)$$

وبتعويض  $\lambda_2 = \rho_1(\alpha) + i\rho_2(\alpha)$  في المعادلة رقم (15) وباجراء بعض الحسابات البسيطة والمشتقات عند باراميتر التفرع  $\alpha$  أي ان  $\frac{d}{d\alpha} p_3(\lambda) = p'_3(\lambda) = 0$  ومع اجراء مقارنة بين الجزء الحقيقي والخيالي لطيفي المعادلة نحصل على:

$$\left. \begin{array}{l} \eta(\alpha)\rho'_1(\alpha) - \Phi(\alpha)\rho'_2(\alpha) = -\theta(\alpha) \\ \Phi(\alpha)\rho'_1(\alpha) + \eta(\alpha)\rho'_2(\alpha) = -\Gamma(\alpha) \end{array} \right\} \quad (16)$$

حيث ان:

$$\begin{aligned} \eta(\alpha) &= 3(\rho_1(\alpha))^2 + 2A_1(\alpha)\rho_1(\alpha) + A_2(\alpha) - 3(\rho_2(\alpha))^2, \\ \Phi(\alpha) &= 6\rho_1(\alpha)\rho_2(\alpha) + 2A_1(\alpha)\rho_2(\alpha), \\ \theta(\alpha) &= (\rho_1(\alpha))^2 A'_1(\alpha) + A'_2(\alpha)\rho_1(\alpha) + A'_3(\alpha) - A'_1(\alpha)(\rho_2(\alpha))^2, \\ \Gamma(\alpha) &= 2\rho_1(\alpha)\rho_2(\alpha)A'_1(\alpha) + A'_2(\alpha)\rho_2(\alpha). \end{aligned}$$

وبحل النظام الخطى (16) اعلاه  $\rho'_1(\alpha)$  و  $\rho'_2(\alpha)$  ، نحصل على:

$$\rho'_1(\alpha) = \frac{d}{d\alpha} \rho_1(\alpha) = -\frac{\eta\theta + \Gamma\Phi}{\eta^2 + \Phi^2} \quad (17)$$

الآن، لتحقيق الشرط الثاني (13b) الخاص بتفرع هو بف يجب ان يتحقق الشرط التالي:  
 $\eta(\alpha^*)\theta(\alpha^*) + \Gamma(\alpha^*)\Phi(\alpha^*) \neq 0 \quad (18)$

ومباشرة لحساب الشرط اعلاه نجد:

## الاستقرارية الكلية لنظام رياضي تربوي يدرس تأثير كل من الغياب وترك الدراسة على العملية التربوية والتعليمية.

$$A'_1 = -1 ; A'_2 = -(b_{22} + b_{33}) ; A'_3 = -A_2 - A_1(b_{22} + b_{33})$$

هذا عند  $\alpha^* = \alpha$  نحصل على:

$$\eta = -2A_2 ; \quad \Phi = 2A_1\sqrt{A_2} ; \quad \theta = -A_1(b_{22} + b_{33}) \quad and \\ \Gamma = -(b_{22} + b_{33})\sqrt{A_2}$$

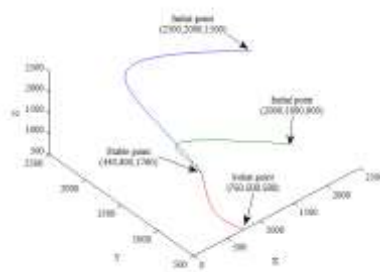
الآن بتعويض القيم اعلاه في المعادلة (18) نحصل على ان  $\eta\theta + \Gamma\Phi = 0$  وهذا يعني ان النظام (1) لايمتلك تفرع هوبف حول اي نقطة من نقاط التوازن

$$E_i = (X_i, Y_i, Z_i), i = 0, 1, 2, 3$$

### 6. التحليل العددي للنظام (1):

في هذا القسم درسنا الديناميكية الكلية للنظام (1). الهدف الرئيسي من هذه الدراسة هو فهم وتحليل نتائج تأثير كل من الغائبين عن الدراسة والتاركين للدراسة على العملية التعليمية في النظام التربوي المقترن. حيث تم الحل العددي للنظام (1) من خلال مجموعة مختلفة من الشروط الابتدائية ومجموعة مختلفة من الباراميترات الافتراضية كما هو مبين في الشكل (2) أدناه:

$$\Delta = 300, \beta = 0.2, \alpha = 0.4, \theta = 0.01, \mu = 0.1 \quad (19)$$



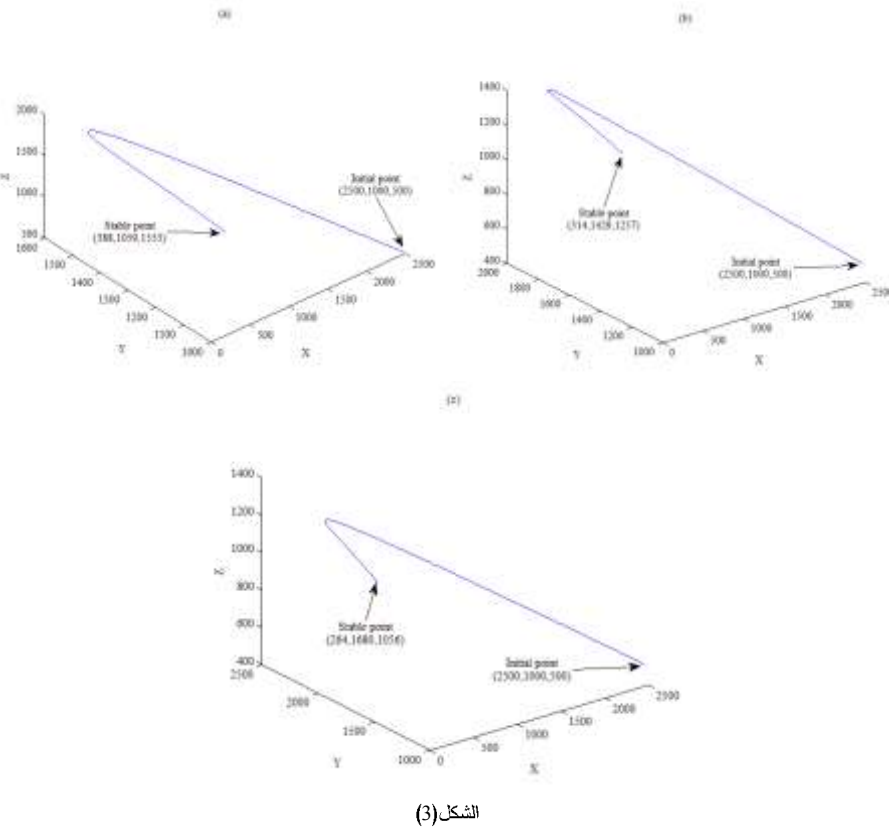
الشكل (2)

مسار النظام (1) والذي يبدأ من ثلاثة نقاط ابتدائية مختلفة

في الشكل اعلاه والذي يبين الاستقرارية الكلية لنقطة التوازن في حالة وجود كل من الغائبين والناححين للنظام (1) والذي ينطلق من ثلاثة نقاط ابتدائية مختلفة وهي  $(2500,2000,1500)$ ,  $(750,500,500)$  و  $(2000,1000,900)$  حيث نلاحظ كلها تتجه الى نقطة التوازن  $E_3 = (440,800,1760)$ .

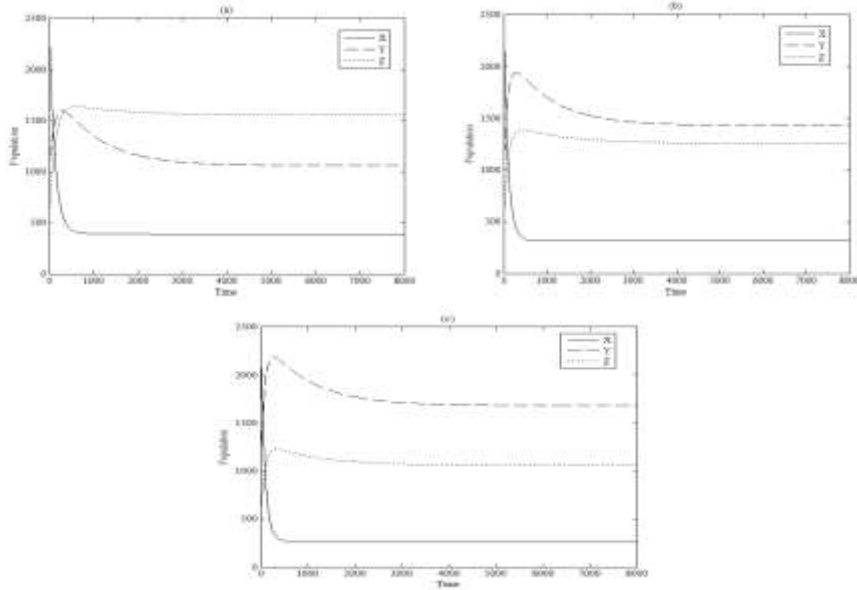
والآن ندرس تأثير نسبة الغائبين  $\beta$  على السلوك الديناميكي للنظام (1) من خلال الحل العددي للنظام (1) وذلك بتثبيت قيم الباراميترات والمبنية بالمعادلة (19) مع تغيير قيمة  $\beta = 0.3, 0.5, 0.7$  حيث ان النتائج تبين في الاشكال (3a-3c) بينما تمثل الاشكال (4a-4b) المتسلسلة الزمنية للاشكال (3a-3c).

**الاستقرارية الكلية لنظام رياضي تربوي يدرس تأثير كل من الغياب وترك الدراسة على العملية التربوية والعلمية.**



**(الشكل 3)**

النظام (1) يتجه نحو نقطة التوازن  $(E_3)$ . حيث ان (a) عندما  $\beta = 0.7$ , (b) عندما  $\beta = 0.5$ , (c) عندما  $\beta = 0.3$ .

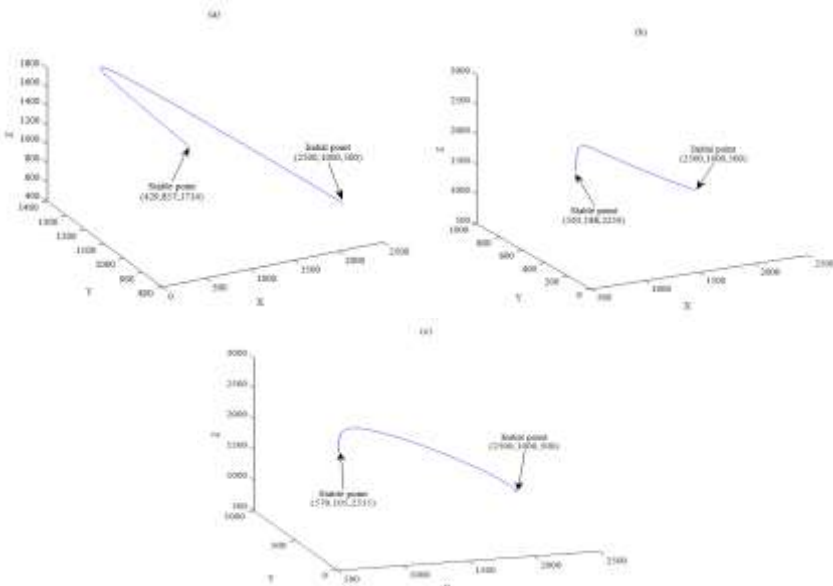


#### (الشكل 4)

هو المتسلسلة الزمنية لحل النظام (1). حيث ان (a) متسلسلة زمنية للشكل (3a), (b) متسلسلة زمنية للشكل (3b), (c) متسلسلة زمنية للشكل (3c).

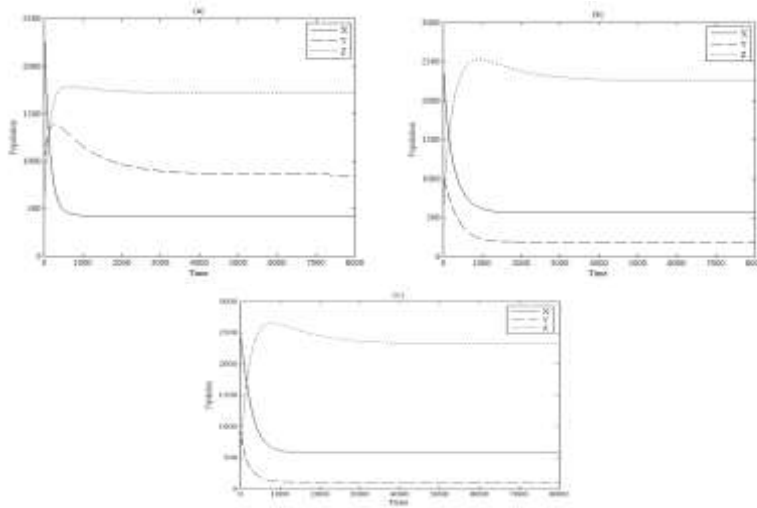
## الاستقرارية الكلية لنظام رياضي تربوي يدرس تأثير كل من الغياب وترك الدراسة على العملية التربوية والتعليمية.

من الواضح من خلال الاشكال اعلاه نلاحظ ان عند الزيادة بقيمة نسبة الغائبين  $\beta$  ان النظام يبقى مستقر ومتوجه نحو نقطة التوازن  $E_3$  اضافة الى ذلك نلاحظ ان اعداد كل من الطلبة اثناء الدراسة والطلبة الناجحون يتناقص بينما عدد الطلبة الغائبين في حالة تزايد. تأثير نسبة العائدون الى الدراسة  $\theta$  على السلوك الديناميكي للنظام (1) من خلال الحل العددي للنظام (1) وذلك بتثبيت قيم الباراميترات والمبنية بالمعادلة (19) مع تغيير قيم  $\theta$  حيث ان النتائج تبين في الاشكال (5a-5c) بينما تمثل الاشكال (6a-6b) المتسلسلة الزمنية للاشكال (5a-5c).



الشكل (5)

. $\theta = 1$  يتجه نحو نقطة التوازن  $(E_3)$ . حيث ان (a) عندما  $\theta = 0$ , (b) عندما  $\theta = 0.5$ , (c) عندما  $\theta = 0$ .



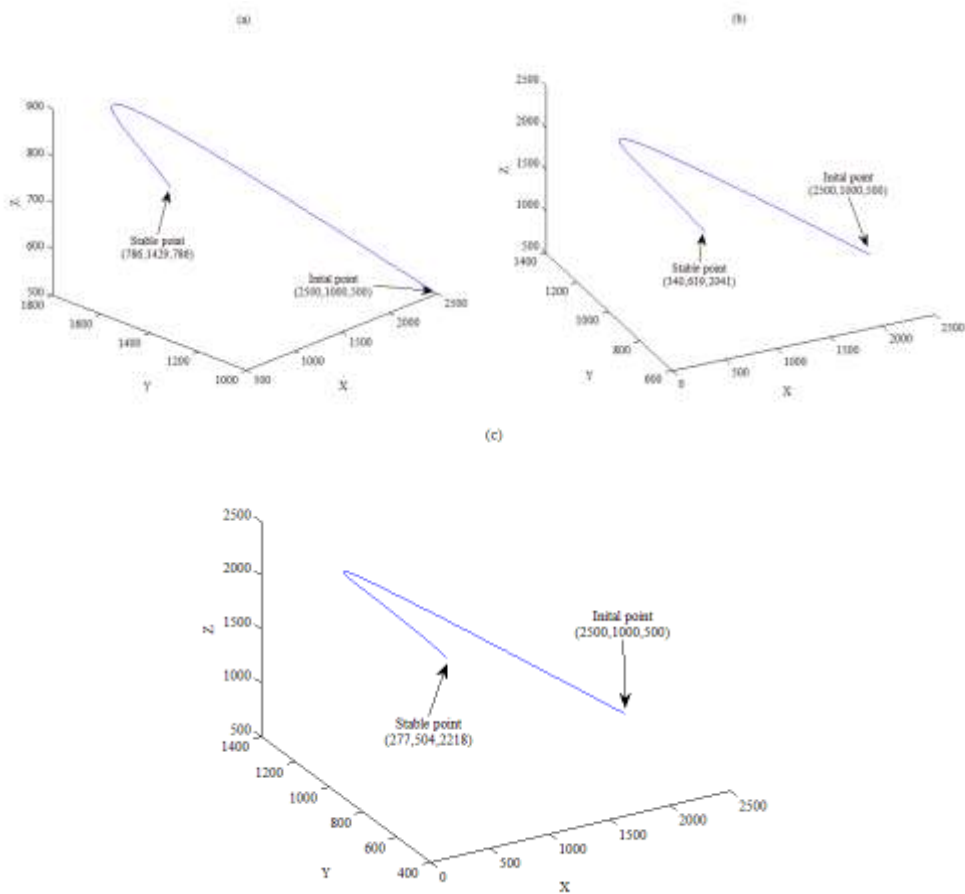
الشكل (6)

هو المتسلسلة الزمنية لحل النظام (1). حيث ان (a) متسلسلة زمنية للشكل (5a), (b) متسلسلة زمنية للشكل (5b), (c) متسلسلة زمنية للشكل (5c).

## الاستقرارية الكلية لنظام رياضي تربوي يدرس تأثير كل من الغياب وترك الدراسة على العملية التربوية والتعليمية.

بسهولة نلاحظ في الاشكال اعلاه ان الزيادة بقيمة عودة نسبة الغائبين الى الدراسة  $\theta$  ان النظام يبقى مستقر ومتوجه نحو نقطة التوازن  $E_3$  اضافة الى ذلك نلاحظ ان اعداد كل من الطلبة اثناء الدراسة والطلبة الناجحون يتزايد بينما عدد الطلبة الغائبون يتناقص.

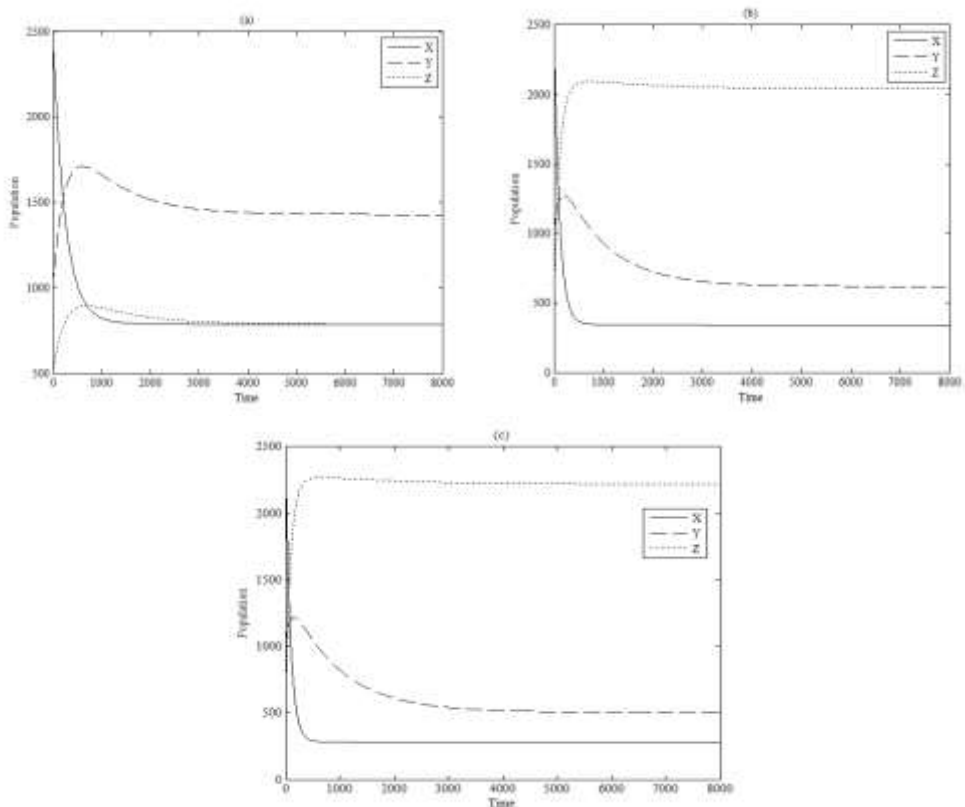
والان ندرس تأثير زيادة نسبة الناجحون  $\alpha$  على السلوك الديناميكي للنظام (1) من خلال الحل العددي للنظام (1) وذلك بتثبيت قيم الباراميترات والمبينه بالمعادلة (19) مع تغيير قيم  $\alpha = 0.1, 0.6, 0.8$  حيث ان النتائج تبين في الاشكال (7a-7c) بينما تمثل الاشكال (8a-8c) المتسلسلة الزمنية للاشكال (7a-7c).



الشكل (7)

النظام (1) يتوجه نحو نقطة التوازن ( $E_3$ ). حيث ان (a) عندما  $\alpha = 0.1$  ، (b) عندما  $\alpha = 0.6$  . (c) عندما  $\alpha = 0.8$

## الاستقرارية الكلية لنظام رياضي تربوي يدرس تأثير كل من الغياب وترك الدراسة على العملية التربوية والتعليمية.



الشكل(8)

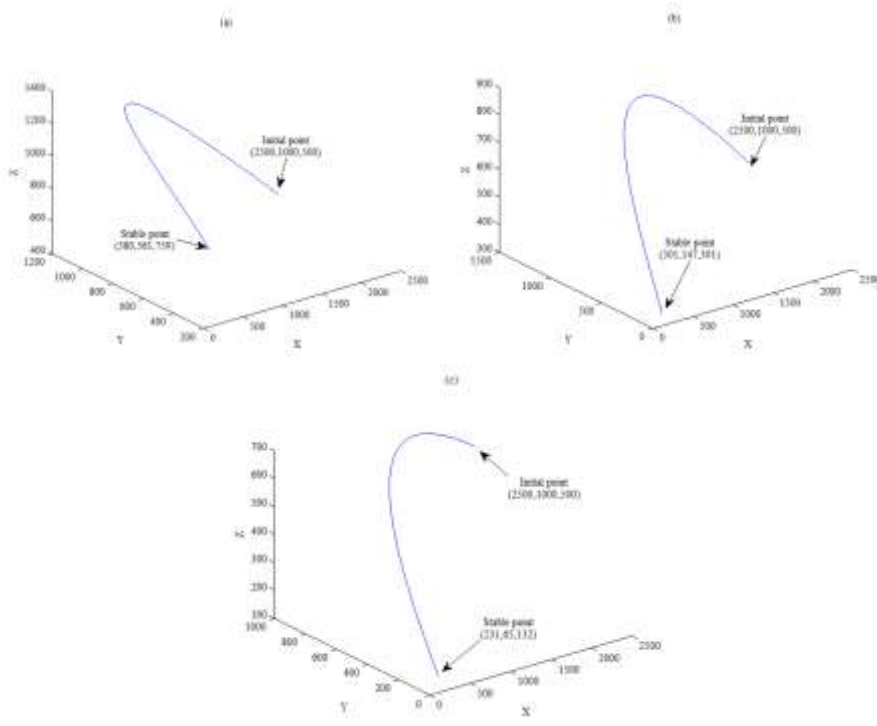
هو المتسلسلة الزمنية لحل النظام (1). حيث ان (a) متسلسلة زمنية للشكل (7a), (b) متسلسلة زمنية للشكل (7b), (c) متسلسلة زمنية للشكل (7c).

من الواضح ان في الاشكال اعلاه نلاحظ ان الزيادة بقيمة نسبة الناجحين  $\alpha$  ان النظام يبقى مستقر ومتوجه نحو نقطة التوازن  $E_3$  اضافة الى ذلك نلاحظ ان اعداد كل من الطلبة اثناء الدراسة والطلبة الغائبين يتناقص بينما عدد الطلبة الناجحون يتزايد.

واخيراً سندرس تأثير زيادة نسبة عدد التاركين للدراسة  $\mu$  على السلوك الديناميكي للنظام (1) من خلال الحل العددي للنظام (1) وذلك بتثبيت قيم الباراميترات والمبيئه بالمعادلة (19) مع تغيير قيم  $\mu = 0.2, 0.4, 0.7$  حيث ان النتائج تبين في الاشكال (9a-9c) بينما تمثل الاشكال (10a-10b) المتسلسلة الزمنية للاشكال (9a-9c).

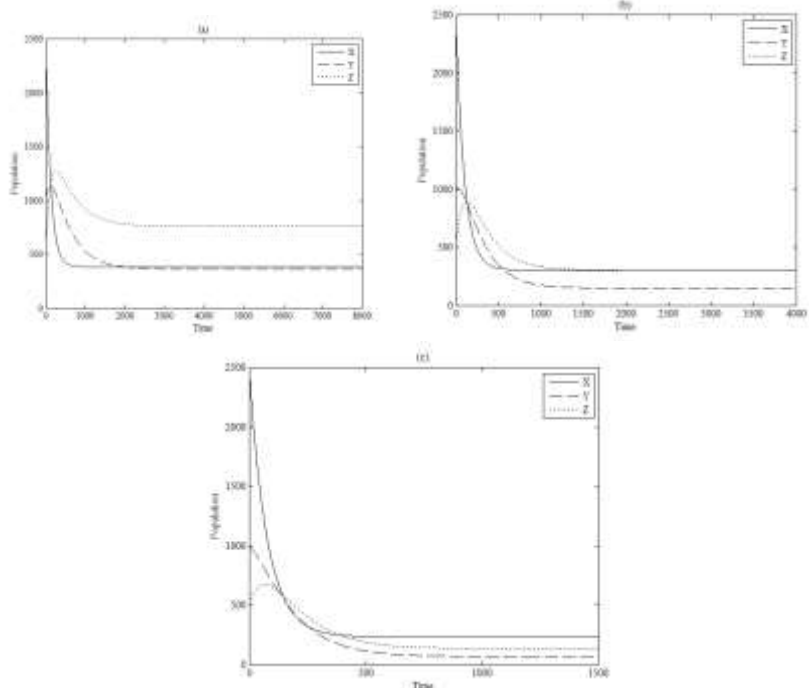
## دراسات تربوية

الاستقرارية الكلية لنظام رياضي تربوي يدرس تأثير كل من الغياب وترك الدراسة على العملية التربوية والتعليمية.



(9) الشكل

النظام (1) يتجه نحو نقطة التوازن  $(E_3)$ . حيث ان (a) عندما  $\mu = 0.7$ , (b) عندما  $\mu = 0.4$ , (c) عندما  $\mu = 0.2$ .



(10) الشكل

هو المتسلسلة الزمنية لحل النظام (1). حيث ان (a) متسلسلة زمنية للشكل (9a), (b) متسلسلة زمنية للشكل (9b), (c) متسلسلة زمنية للشكل (9c).

## **الاستقرارية الكلية لنظام رياضي تربوي يدرس تأثير كل من الغياب وترك الدراسة على العملية التربوية والتعليمية.**

من الواضح ان في الاشكال اعلاه نلاحظ ان الزيادة بقيمة نسبة التاركين للدراسة  $\mu$  ان النظام يبقى مستقر ومتوجه نحو نقطة التوازن  $E_3$  اضافة الى ذلك نلاحظ ان اعداد كل من الطلبة اثناء الدراسة والطلبة الغائبين والطلبة الناججون يتافقون.

### **7. الاستنتاجات والمناقشة:**

في هذا الجزء، اقترحنا وحللنا نموذج رياضي تربوي يدرس السلوك الديناميكي لتأثير بعض العوامل التي تؤثر على سير العملية التعليمية. حيث يتكون النظام من ثلاثة معادلات تناضالية خطية تمثل ثلاثة مجتمعات مختلفة  $X$  مجتمع الطلاب في فترة الدراسة،  $Y$  مجتمع الطلبة الغائبين و  $Z$  مجتمع الناججون. درسنا وحدانية وجود وقيود الحل للنظام المقترن. تم ايجاد كل نقاط التوازن المحتملة للنظام المقترن وهي اربعة نقاط تسمى  $E_i$ ,  $i = 0,1,2,3$ , حيث تم ملاحظة ان جميع نقاط التوازن تكون مستقرة استقرار محليا اذا تحقق الشرط (7). كما ان نقطة التوازن الاولى  $E_0$  تكون مستقرة استقرارا كليا اذا تتحقق الشرط (9)، والنقطة الثانية  $E_1$  تكون مستقرة استقرار كليا اذا تتحقق الشرطين (10a-10b)، والنقطة الثالثة  $E_2$  تكون مستقرة استقرار كليا اذا تتحقق الشرطين (11a-11b) واخيراً النقطة الرابعة  $E_3$  تكون مستقرة استقرار كليا اذا تتحقق الشرطين (12a-12b). ولفهم تأثير كل الباراميترات على الديناميكية الكلية للنظام (1) ولتقديم صورة اوضح للحل التحليلي للنظام قمنا بدراسة عدديه للنظام من خلال عدد من الشروط الابتدائية المختلفة وقيم لعدد من الباراميترات الافتراضية والملخصة بالاتي:

1. من خلال مجموعة الباراميترات الافتراضية المعطاة في المعادلة (19) نلاحظ ان النظام مستقر استقرارا كليا نحو نقطة التوازن الثالثة وهي  $E_3 = (440,800,1760)$ .
2. النظام دائماً مستقر وغير متذبذب، أي لا يمتلك (تفرع هوب).
3. عند زيادة نسبة الغياب بزيادة نسبة  $\beta$  النظام يتوجه نحو نقطة التوازن  $E_3$  كما نلاحظ زيادة في اعداد  $Y$  ونقصان في اعداد  $X, Z$ . اما اذا كانت قيمة  $\beta = 0$  فان النظام (1) يتوجه نحو النقطة  $E_1$ .
4. عند زيادة نسبة العائدين من الغياب  $\theta$  نلاحظ نتائج عكس (تأثير نسبة الغياب  $\beta$ ) أي زيادة في اعداد  $X, Z$  ونقصان في اعداد  $Y$ . ولكن النظام (1) يبقى متوجه نحو نقطة التوازن  $E_3$ .
5. في حالة زيادة نسبة الناجحين  $\alpha$ ، نلاحظ زيادة في اعداد  $Z$ ، ونقصان في اعداد كل من  $X, Y$ . والنظام يقترب من نقطة التوازن  $E_3$ . اما في حالة انه لا يوجد نجاح أي ( $\alpha = 0$ ) فان النظام (1) يقترب الى نقطة التوازن  $E_2$ .
6. اخيراً الزيادة في نسبة التاركين للدراسة  $\mu$  ينتج عنه نقصان في جميع الاقسام أي في  $X, Y$ .

## 8. المصادر :

1. Murray, J.D., (2002). *Mathematical biology an introduction*. Third edition. Springer-Verlag. Berlin Heidelberg.
2. Smith, J.M. (1974). Models in ecology. *Cambridge university press*. Great Britain.
3. Raid K., Azhar A., (2012). *Stability analysis of an ecological system consisting of a predator and stage structured prey*, *Iraqi journal of science*, Vol.53, No.1, 2012, pp.148-155.
4. Dina S., (2010). *The dynamics of stage structured prey-predator model involving parasitic infectious disease*. M.sc. thesis. Department of Mathematics, College of Science, University of Baghdad. Baghdad, Iraq.
5. Kermack, M., Mckendrick, A., (1927). *Contributions to the mathematical theory of epidemics Part I*. Proc. Roy. Soc. A 115:700-721.
6. Kribs-Zaleta, C.M., Velasco-Hernandez, J.X., (2000). *A simple vaccination model with multiple endemic states*. *Math. Biosci.* 164:183-201.
7. Arino, J., Mccluskey, C.C., van den Driessche, P., (2003). Global results for an epidemic model with vaccination that exhibits backward bifurcation. *SIAM J. APPL. MATH.* 64: 260-276.
8. Raid K., Ahmed A., (2013). Stability analysis with bifurcation of an SVIR epidemic model involving immigrations. *Iraqi Journal of Science*. Vol 54.No.2.Pp 397 -408.
9. Hirsch, M. W. and Smale, S. (1974). Differential Equation, Dynamical System, and Linear Algebra. *Academic Press, Inc.*, New York. p 169-170.
10. May R. M., (1973), Stability and Complexity in model ecosystem, Princeton, New Jersey: Princeton University press.